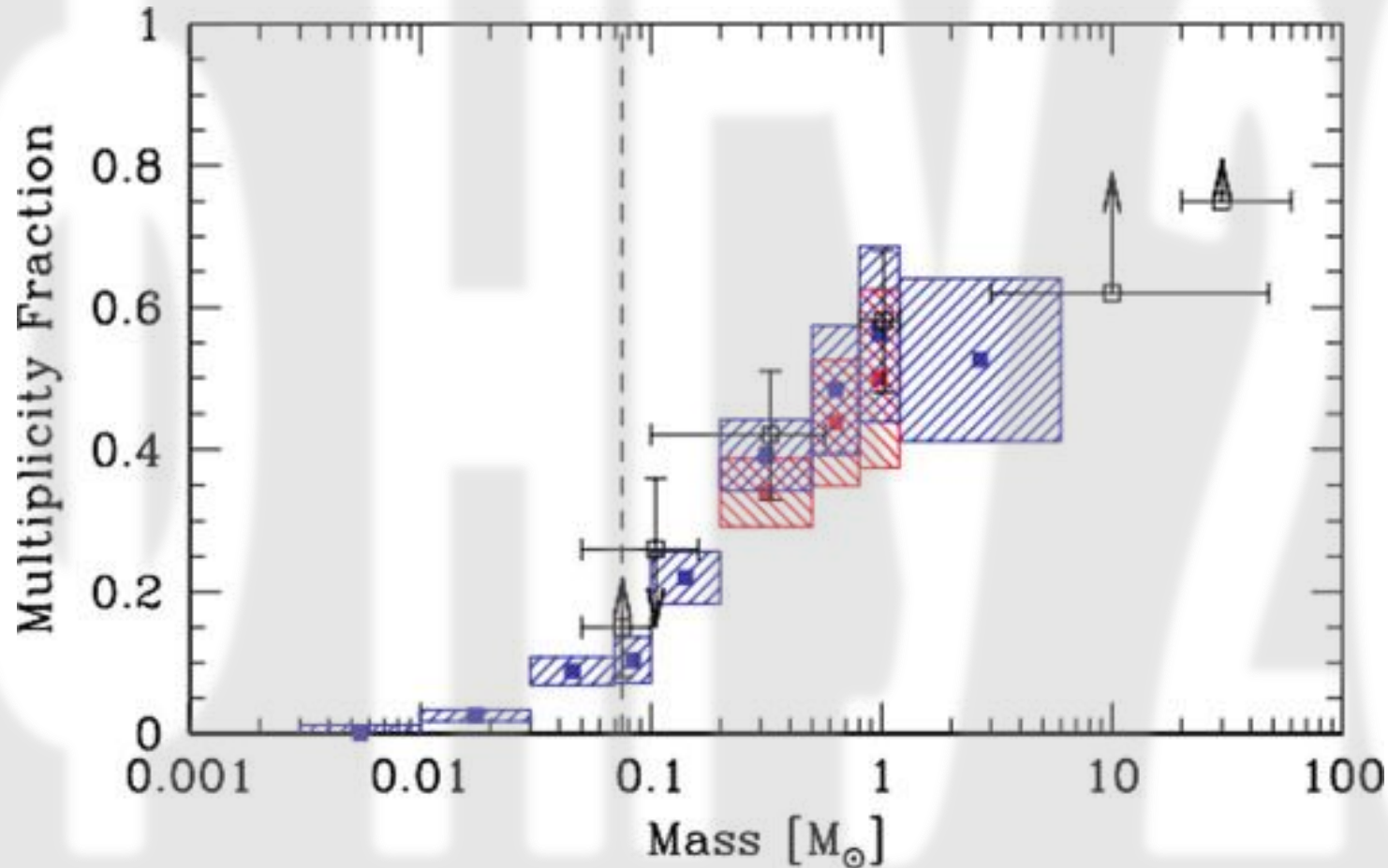


**Лекция 8**  
**Двойные звезды**  
**ФФ НГУ, 2024**



# Доля кратных систем

Поскольку звезды, как правило, образуются в крупных ассоциациях, естественно ожидать, что доля кратных систем будет значительной.

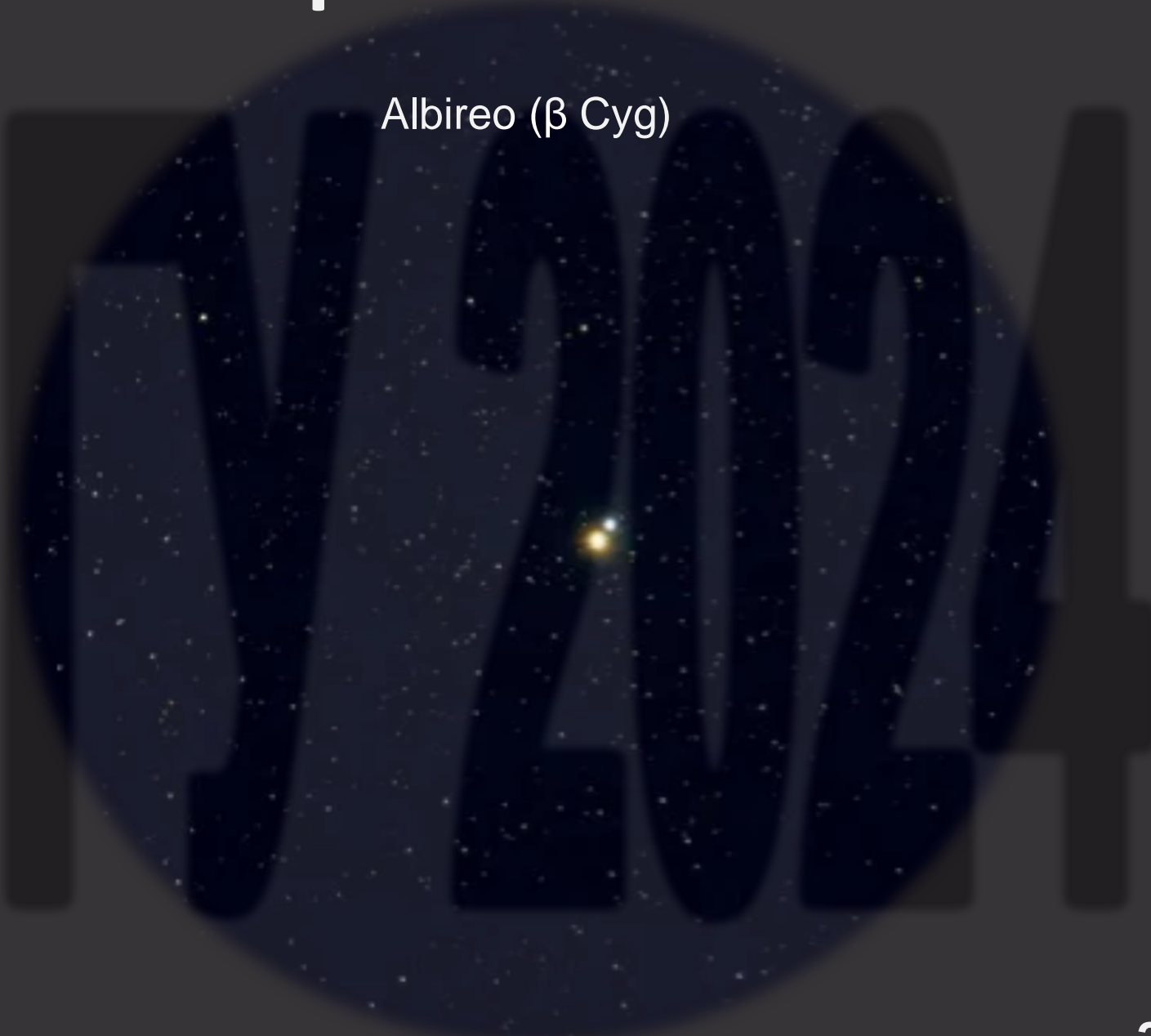


Доля кратных звездных систем в зависимости от массы основной звезды: черные точки – результат наблюдений, красные и синие квадраты – численное моделирование. (Bate, 2009).

# Красивые визуальные кратные системы



Albireo ( $\beta$  Cyg)



# Чем интересны двойные звезды?

Особое значение для астрофизики имеют «тесные» двойные системы:

Период обращения достаточно мал, чтобы точно измерить за «разумное» время.

Сравнительно просто измерить орбитальную скорость (эффект Доплера).

Знание периода и скоростей позволяет получить информацию о массах отдельных звезд в системе.

В случае очень тесных систем между компонентами возможен обмен веществом, что приводит к большому разнообразию физических процессов в системе.

Всем этим условиям удовлетворяют двойные системы, относящиеся к затменным и/или спектроскопическим двойным.

# Классификация двойных звезд

Исторически сложившаяся система классификации двойных звезд больше относится к методике их наблюдения, чем к физическому содержанию вопроса. Некоторые двойные системы могут относиться к более чем одному классу одновременно.

**Оптически двойные** (optical) – звезды не связаны физически, а просто находятся почти на одном луче зрения.

**Визуально двойные** (visual) – звезды образуют физически связанную систему и могут быть разрешены (видны по отдельности) в телескоп.

**Астрометрические двойные** (astrometric) – наличие второй (как правило, гораздо менее яркой) звезды оказывает периодическое влияние на видимое положение звезды.

**Затменные двойные** (eclipsing) – плоскость орбиты звезд образует малый угол с лучом зрения, в результате чего происходят периодические затмения одной из звезд.

**Спектрально двойные** (spectrometric) – в результате вращения вокруг общего центра масс происходят периодические смещения спектральных линий.

Некоторые классы имеют более детальное деление на подклассы.



# Законы Кеплера

I) движение происходит по эллипсам, в одном из фокусов которых находится центр масс системы

III) Квадрат периода пропорционален кубу большой полуоси

$$P^2 = \frac{4\pi^2}{G(m_1 + m_2)} a^3$$

$$e^2 = 1 - \left(\frac{b}{a}\right)^2$$

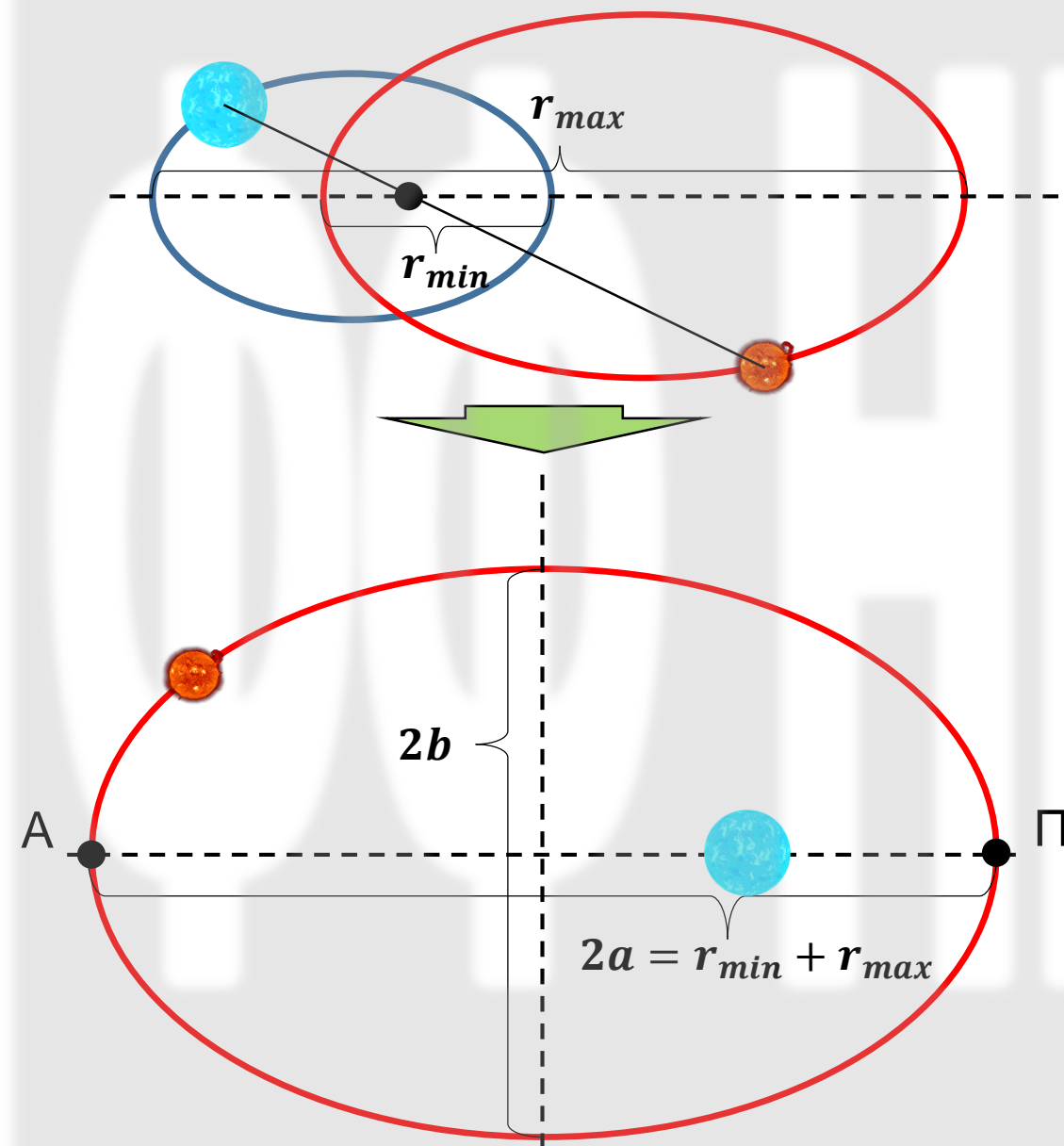
A – апоастр

П – периастр

$P$  – период

$a, b$  – большая и малая полуоси

$e$  – эксцентриситет



# Элементы орбиты

Элементы относительной орбиты двух массивных тел можно разделить на три группы:

- ❖ форма самой орбиты

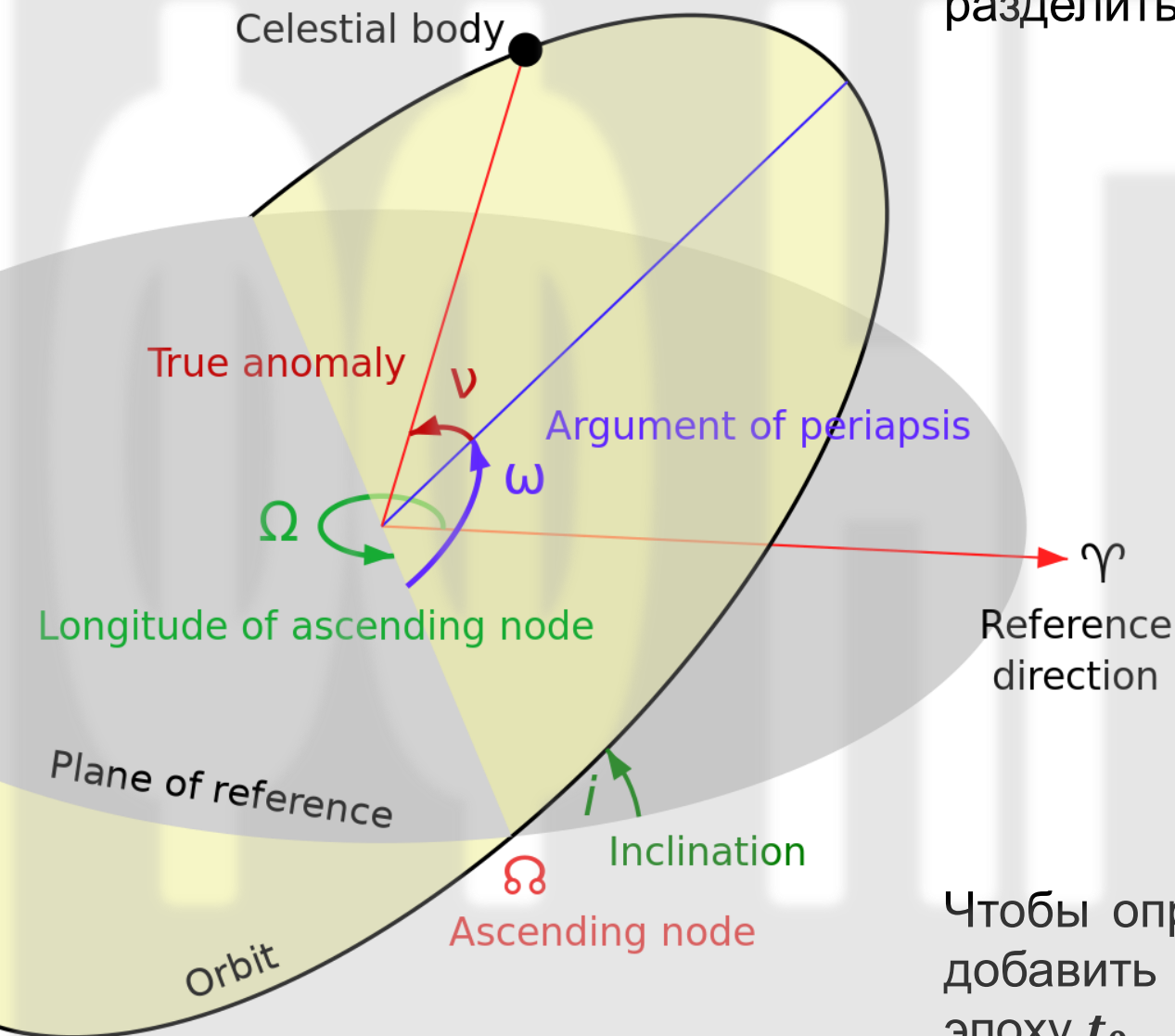
- большая полуось,  $a$
- эксцентриситет,  $e$

- ❖ ориентация плоскости орбиты в пространстве

- наклонение,  $i$
- долгота восходящего узла,  $\Omega$

- ❖ ориентация орбиты в плоскости

- аргумент периастра,  $\omega$

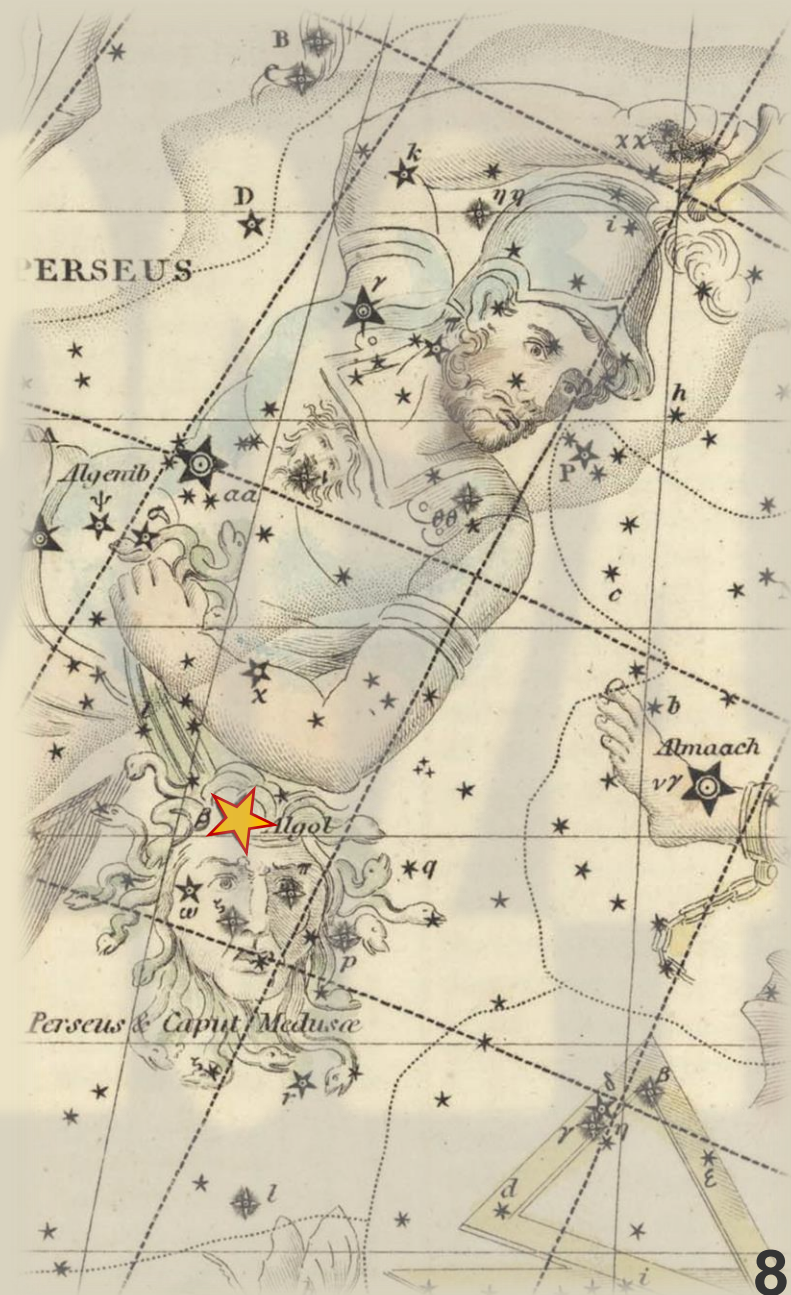
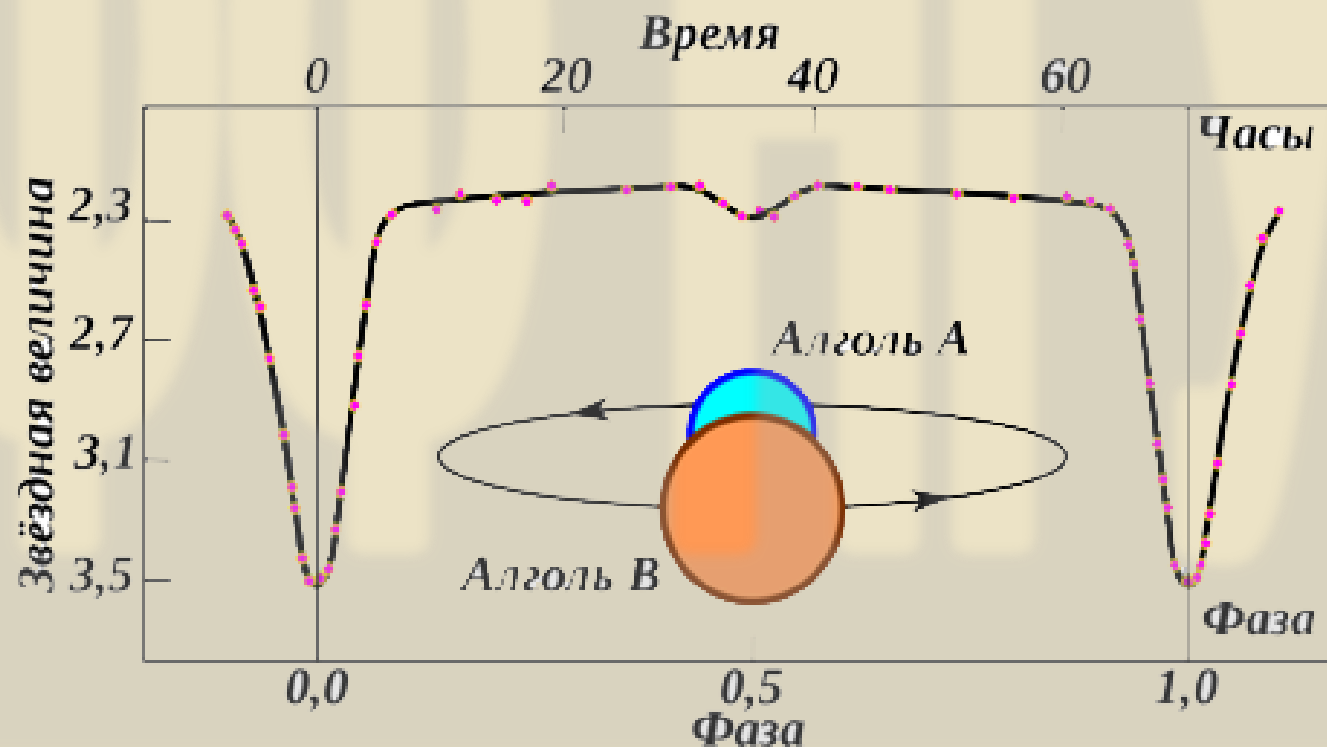


Чтобы определить положение тела на орбите необходимо добавить начальные положения: истинную аномалию  $\nu$  на эпоху  $t_0$ .

# Затменные двойные

Первой (Montanari, 1667; Goodricke, 1783) открытой звездой такого типа была звезда Алголь (ал-гуль – злой дух), она же  $\beta$  Персея ( $\beta$  Per). Переменность блеска этой звезды, вероятно, была замечена еще в древности (египтяне, арабы, греки).

В 1783 английский астроном John Goodricke обнаружил периодичность изменения блеска и предложил объяснение – затмение звезды другим объектом (звездой).





# Астрометрические двойные

Для астрометрических двойных возможно (по крайней мере в принципе) определение всех параметров орбиты системы.

Двойная система  
бурых карликов с  
массами всего  
 $35 M_J$  и  $29 M_J$ .



observer

*plane tangent to  
celestial sphere  
(plane of apparent orbit)*

*apparent  
orbit*

*relative orbit*

*i*

*N'*

*ascending  
node*

В ближайшее время ожидается существенное увеличение статистики астрометрических кратных систем благодаря измерениям спутника GAIA.

# Массы звезд двойной системы

Из астрометрических наблюдений визуальных двойных можно, в принципе, полностью определить параметры орбит обеих звезд. При практическом применении, основная неопределенность возникает в измерении угла  $i$  наклона плоскости орбиты к плоскости, касательной к небесной сфере.

$$(*) \quad \frac{m_1}{m_2} = \frac{a_2}{a_1} = \frac{a_2 \cos i}{a_1 \cos i} = \frac{\tilde{a}_2}{\tilde{a}_1}$$

$a_1$  и  $a_2$  – расстояния от звезд до центра масс системы (большие полуоси в случае эллиптических орбит), которые могут быть выражены как в абсолютных единицах (если известно расстояние до системы) или в угловых.

Из третьего закона Кеплера:

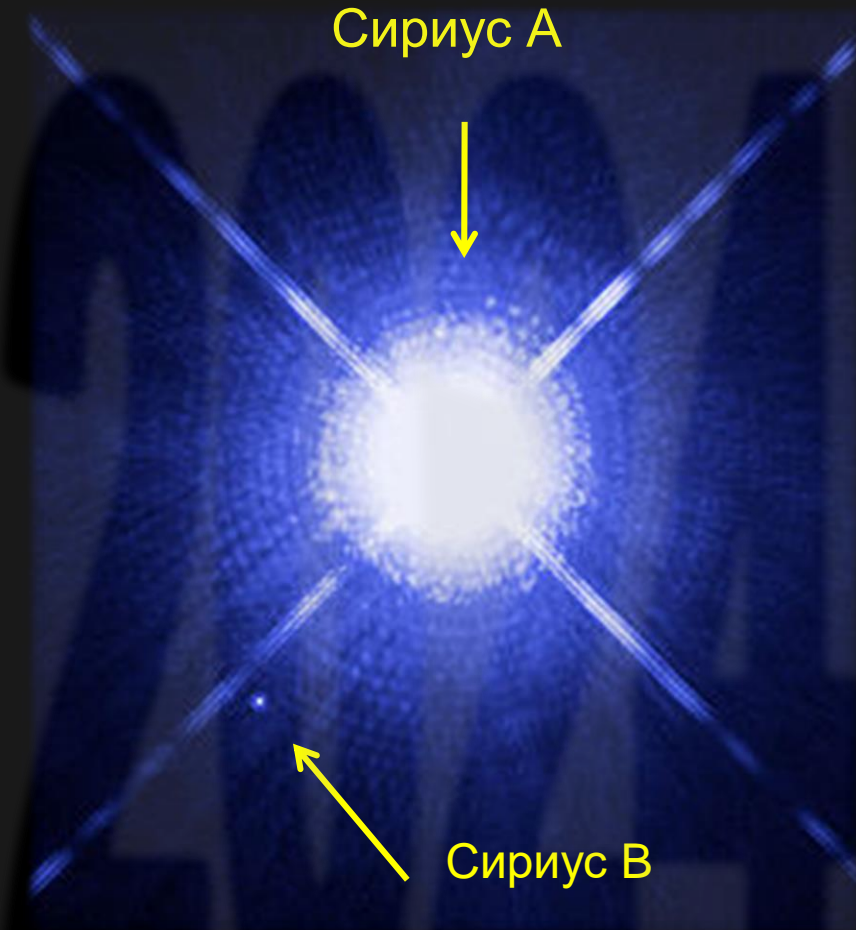
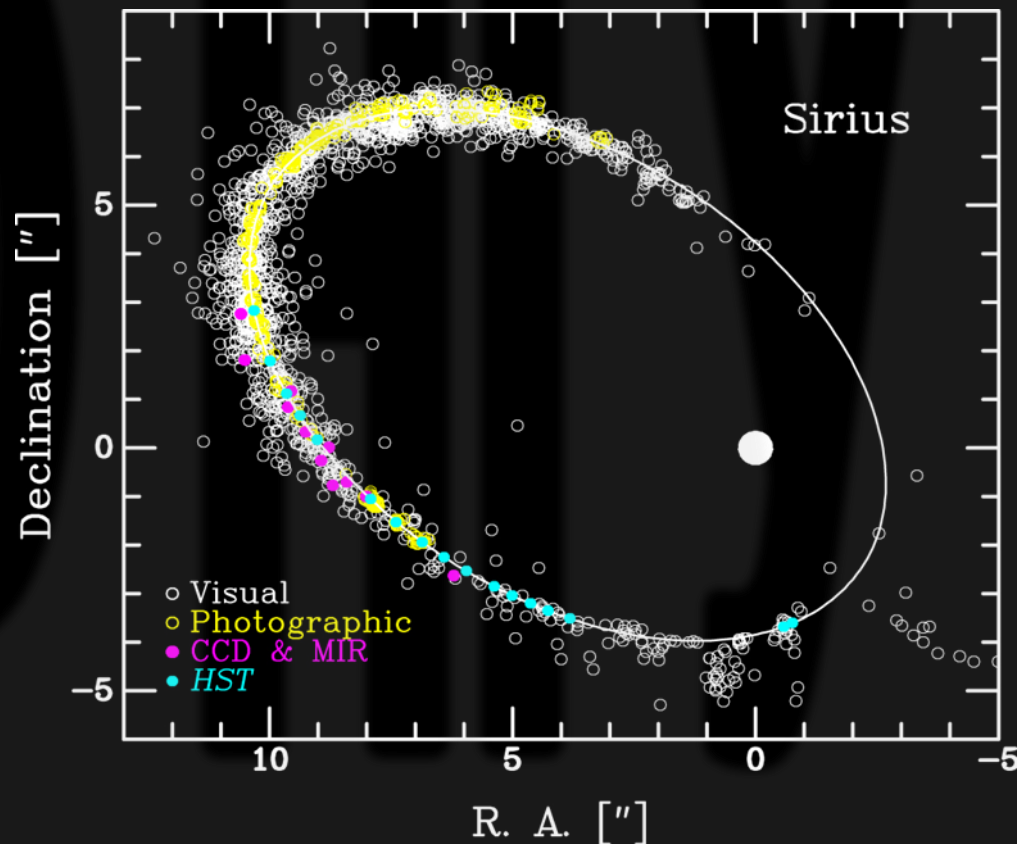
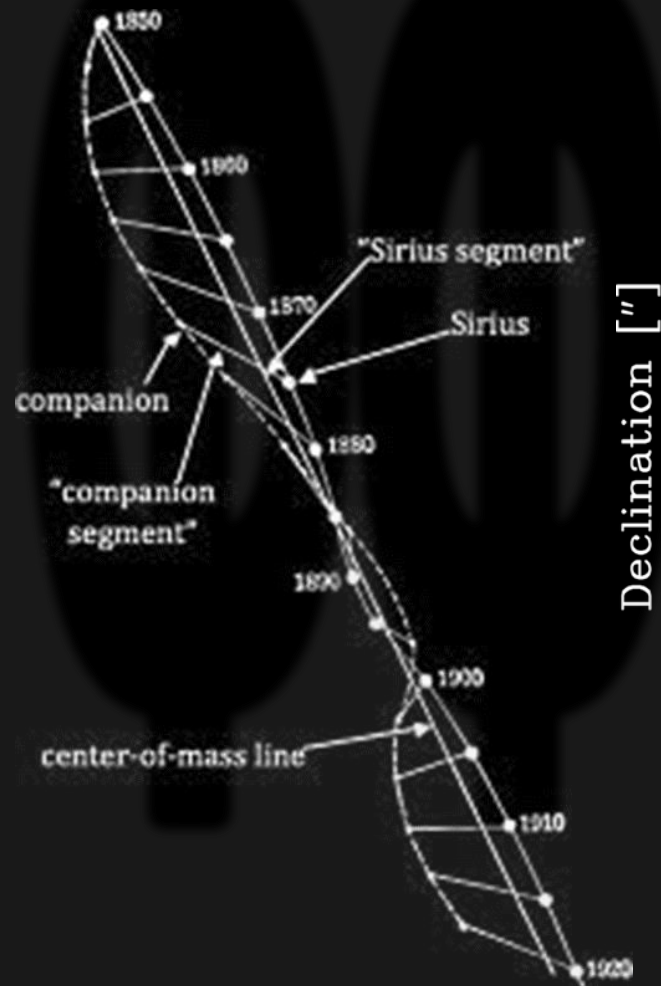
$$P^2 = \frac{4\pi^2}{G(m_1 + m_2)} a^3, \quad a = a_1 + a_2$$

$$(**) \quad m_1 + m_2 = \frac{4\pi^2}{G} \left( \frac{d}{\cos i} \right)^3 \frac{\tilde{a}^3}{P^2}$$

Если удастся измерить расстояние и угол наклона, то из (\*) и (\*\*) можно определить массы обеих звезд.

# Астрометрические двойные

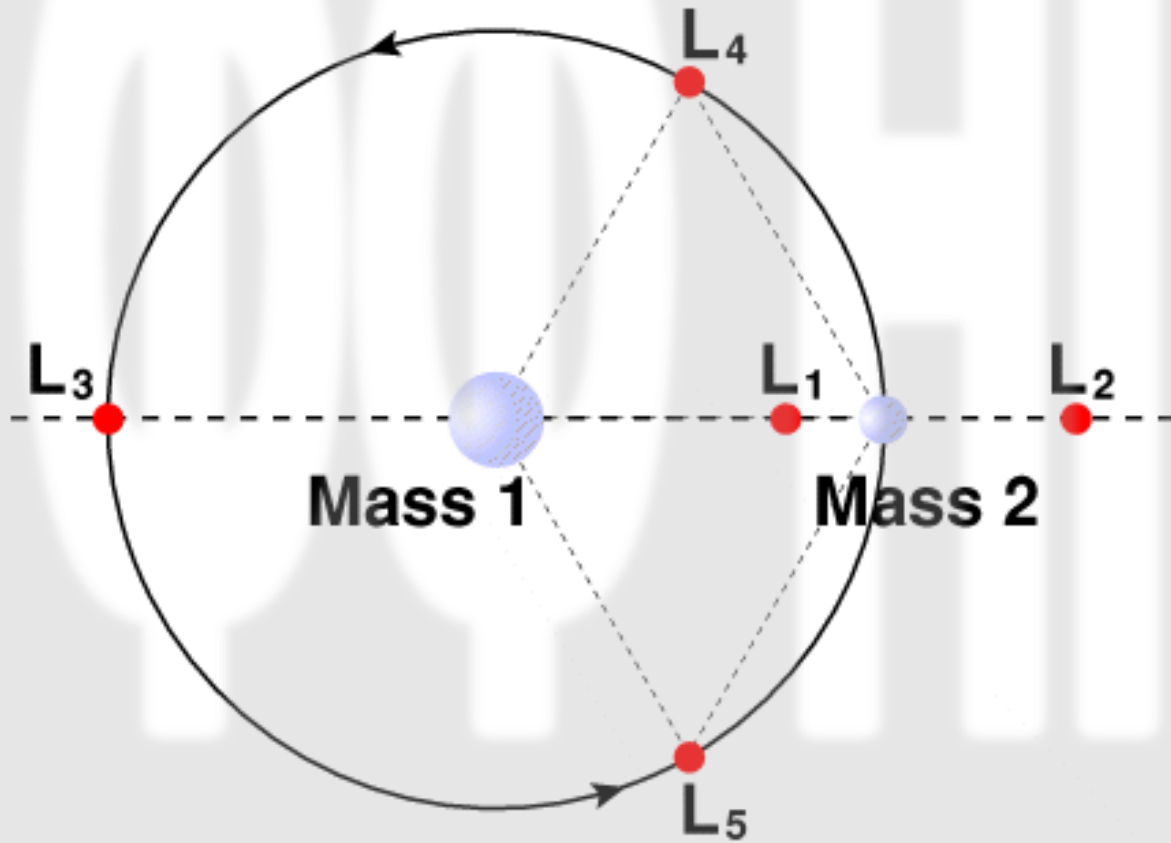
В 1844 году Фридрих Бессель, проанализировав астрометрические данные, пришел к выводу, что Сириус имеет невидимый спутник.



В 1862 его удалось различить визуально.

# Точки Лагранжа

В системе двух гравитационно связанных тел существует 5 точек, где комбинация сил тяготения и центробежной «силы» (задачу удобно решать во вращающейся системе, где два массивных тела покоятся, предполагая круговую орбиту) равна нулю.



Точки L1, L2 и L3 всегда точки неустойчивого равновесия.

Точки L4 и L5 будут точками устойчивого равновесия, если выполняется условие:

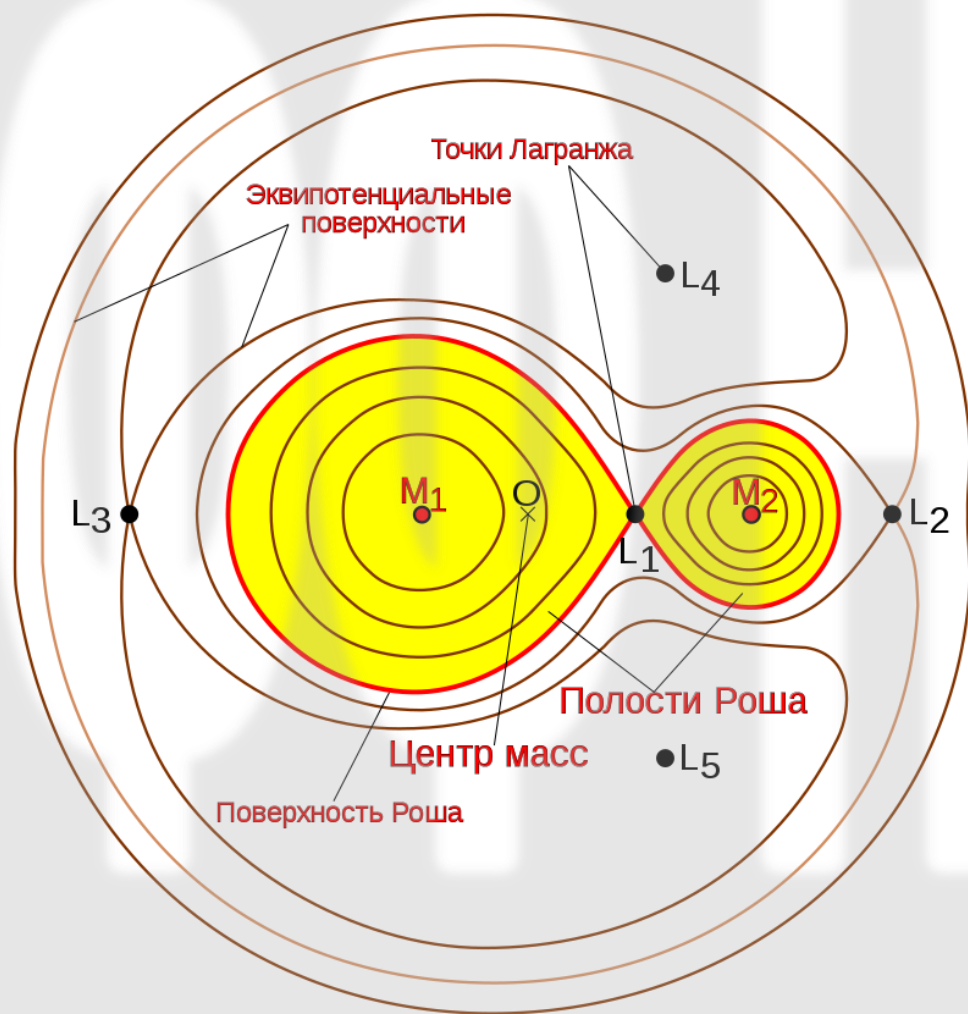
$$\frac{M_1}{M_2} > \frac{25}{2} \left( 1 + \frac{\sqrt{23 \cdot 27}}{25} \right) \approx 24.96$$

[farside.ph.utexas.edu/teaching/336k/Newton/node126.html](http://farside.ph.utexas.edu/teaching/336k/Newton/node126.html)



# Полость Роша

**Полость Роша** – область вокруг звезды в двойной системе, ограниченная эквипотенциальной поверхностью, проходящей через точку Лагранжа L1.

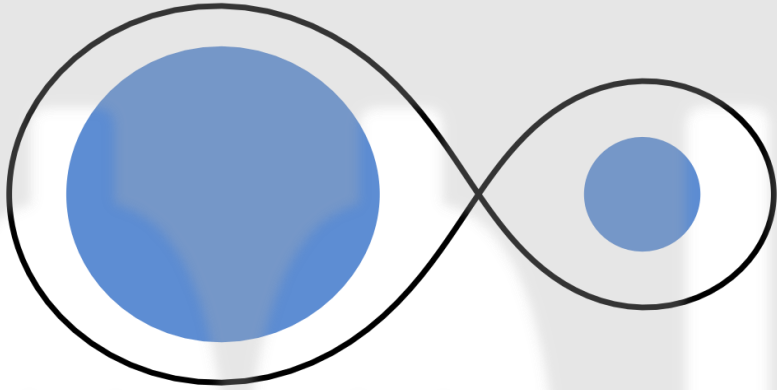


При сравнимых значениях  $M_1$  и  $M_2$ , расстояние от центров звезд до точки Лагранжа L1 можно оценить по приближенной формуле:

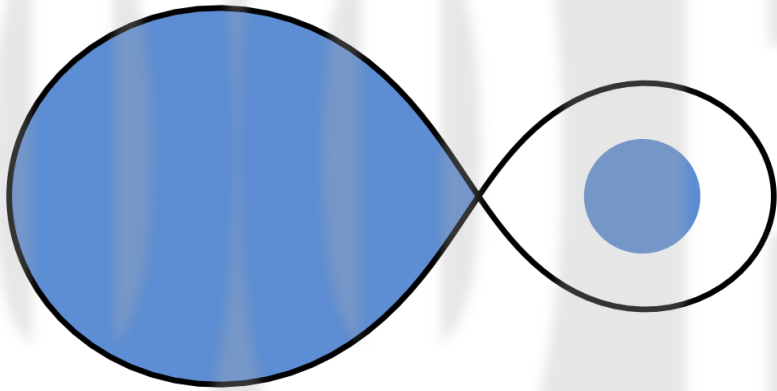
$$r_{1,2} \simeq a \left( \frac{1}{2} + 0.227 \lg \frac{M_{1,2}}{M_{2,1}} \right)$$

В тесных двойных системах расстояния от звезд до точки Лагранжа L1 может быть достаточно мало, так что на поздних этапах эволюции более массивная звезда системы, расширяясь, заполнит свою полость Роша, и начнется переток вещества на менее массивную звезду.

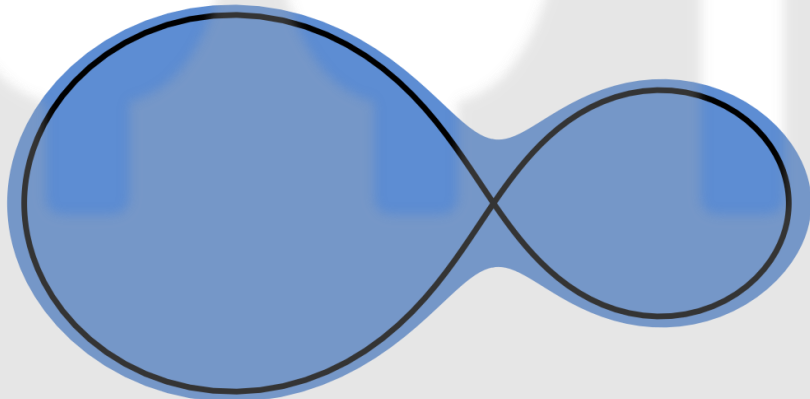
# Тесные двойные системы



Если радиусы звезд много меньше, чем расстояния от их центров до  $L_1$ , такая двойная система называется **разделенной** (detached binary).



Если одна из звезд заполнила свою полость Роша, система называется **полуразделенной** (semidetached).

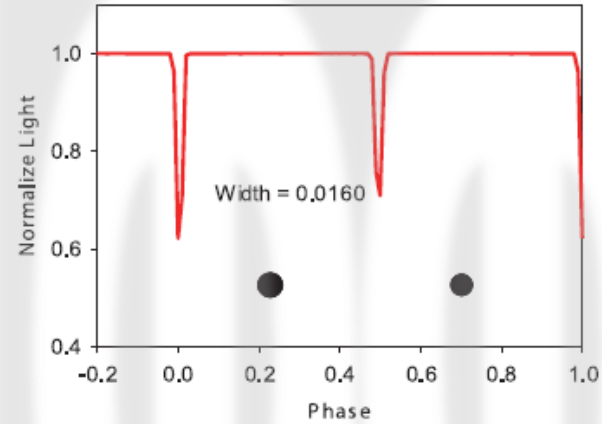


Если обе звезды заполнили свои полости Роша, система называется **тесной** (contact binary).

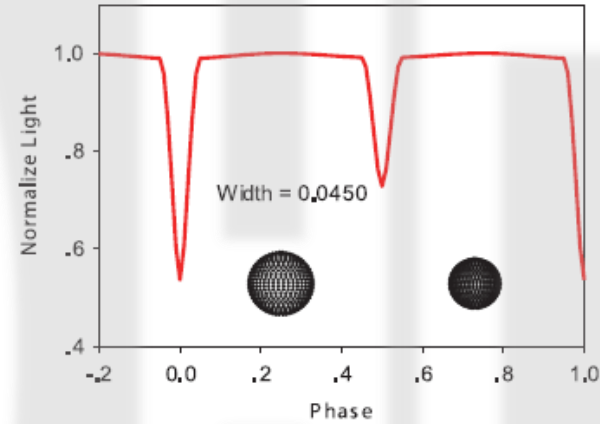
# Тесные затменно двойные системы

Степень «разделенности» затменной двойной системы можно определить по форме кривой блеска.

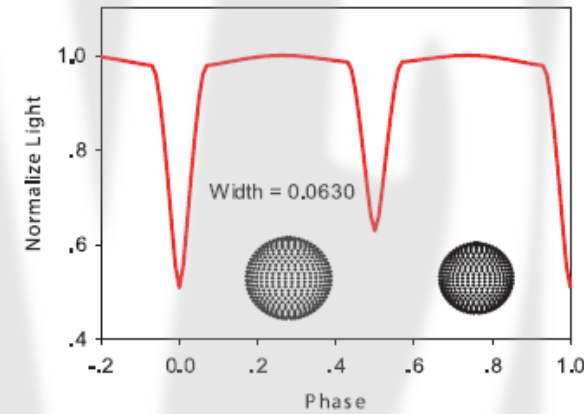
TV Cct (Detached)



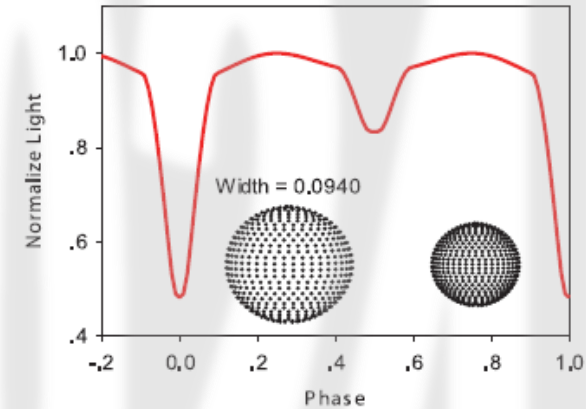
TX Her (Detached)



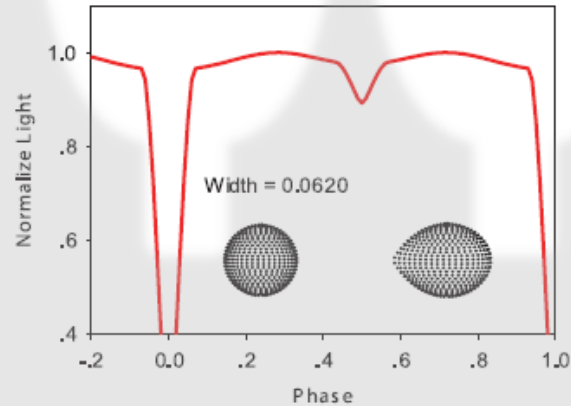
V364 Cas (Detached)



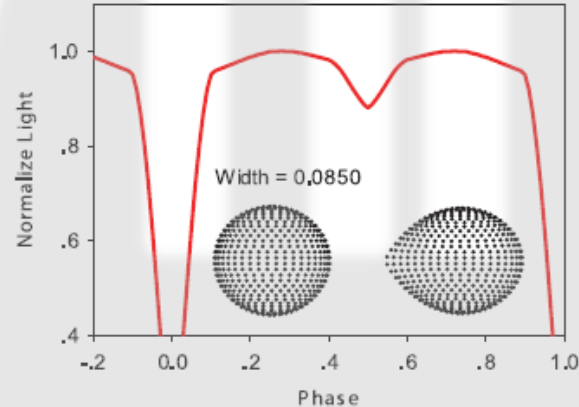
RT And (Detached)



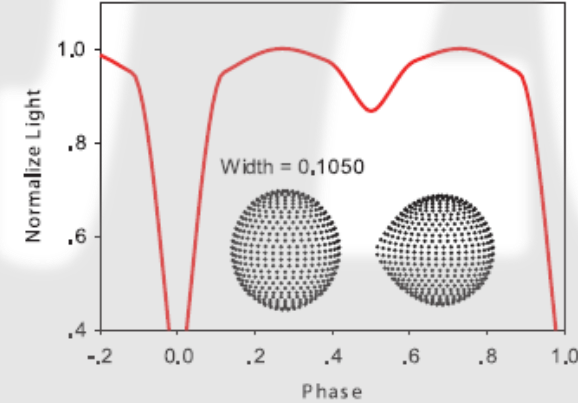
S Equ (Semi-detached)



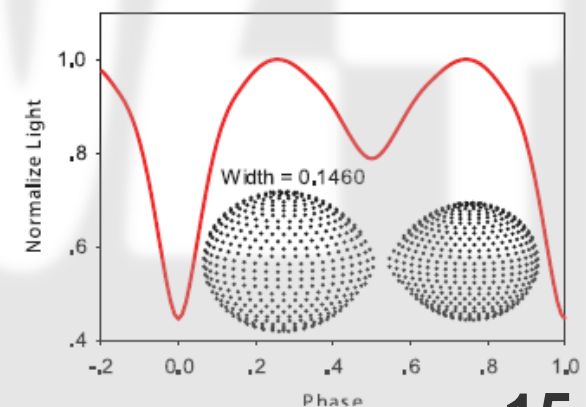
XZ Pup (Semi-detached)



V463 Cyg (Semi-detached)



RZ Dra (Semi-detached)





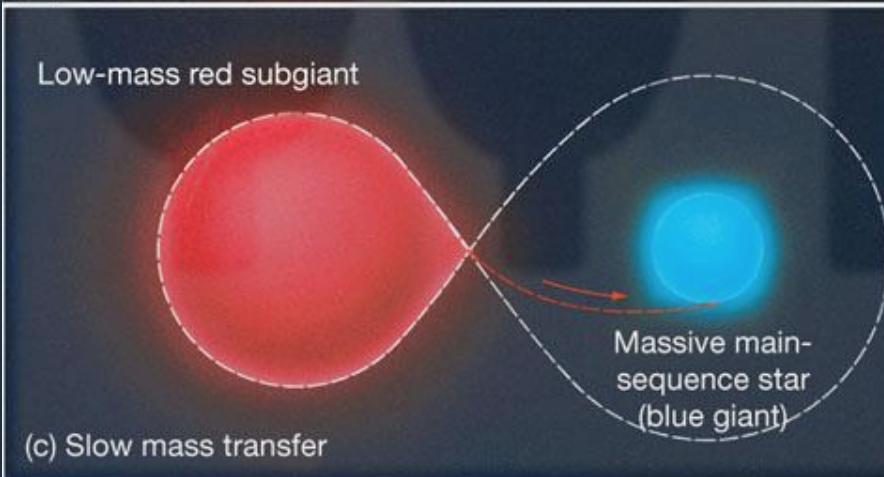
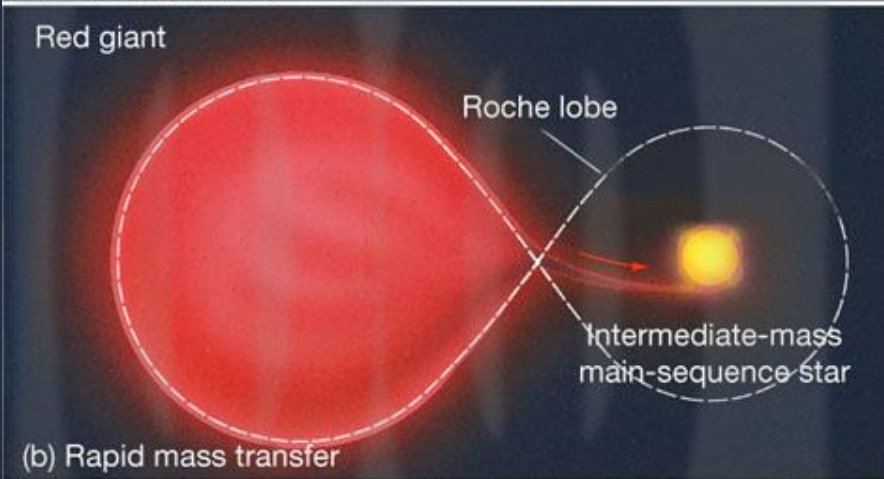
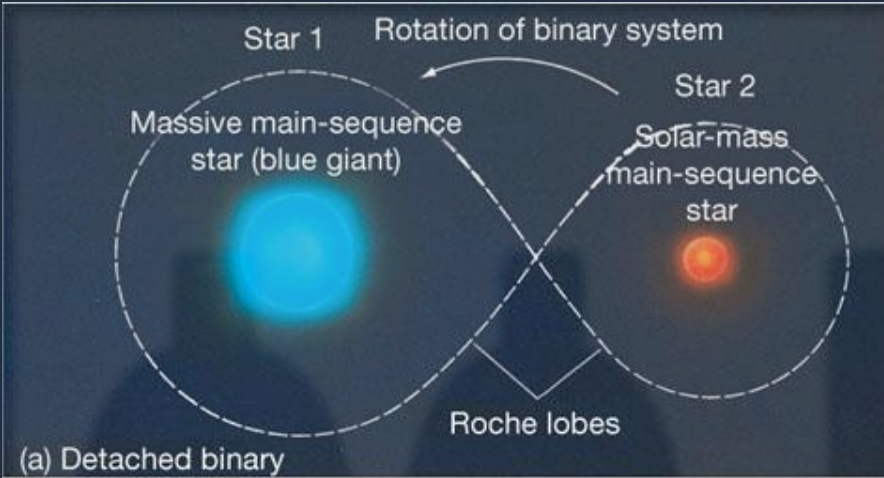
# Парадокс Алголя

В XX веке при изучении системы Алголя выяснилось, что менее массивная звезда выглядит эволюционно более старой, чем более массивная, что противоречит модели эволюции звезд.

На начальной стадии звезда 1 более массивная, поэтому быстрее сжигает водород в ядре, сходит с главной последовательности и превращается в красный гигант.

Расширяясь, звезда 1 заполняет свою полость Роша, и через точку L1 вещество ее внешних слоев начинает перетекать на звезду 2. При соответствующих условиях масса второй звезды может превысить массу первой.

Приток дополнительной массы на звезду 2 смещает ее по ГП, приводит к перестройке внутренней структуры, что делает ее более «молодой» и при этом более массивной, чем теперь есть звезда 1.





# Гелиевые белые карлики

Согласно моделям звездной эволюции, гелиевые белые карлики могут оставаться лишь после эволюции звезд с массой  $\lesssim 0.5M_{\odot}$  (более массивные звезды образуют C-O или O-Ne-Mg белые карлики), и поскольку их время жизни намного превышает текущий возраст Вселенной, то наблюдаться они не должны. Но они (очень редко) наблюдаются...

Возможное объяснение состоит в том, что начальная звезда типа Солнца состояла в тесной двойной системе и на стадии перехода на ветвь гигантов (т.е. до начала горения гелия в ядре) потеряла существенную долю массы из-за перетока вещества на вторую звезду.

В результате потери массы условия для горения гелия не были достигнуты, и гелиевое ядро сразу перешло в разряд белых карликов.

# Двойные звезды в скоплениях

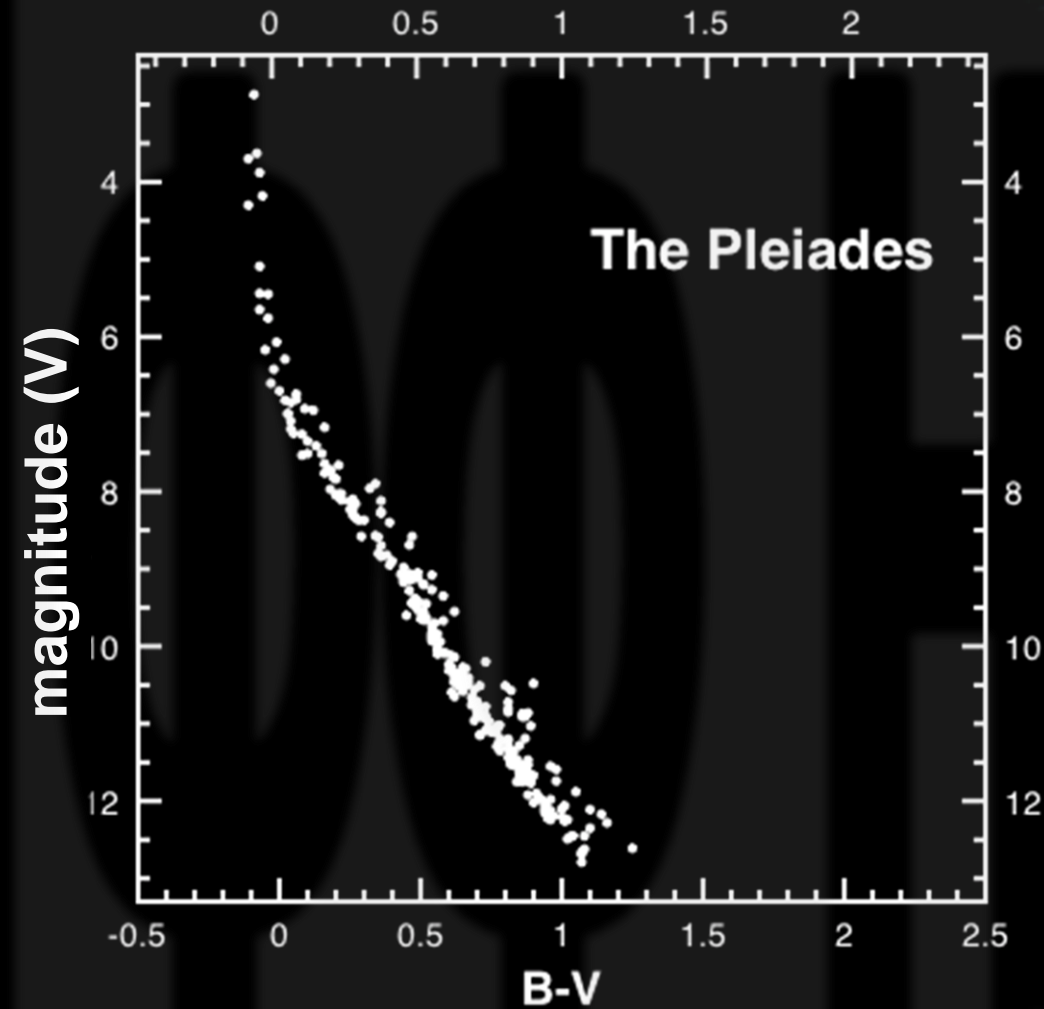
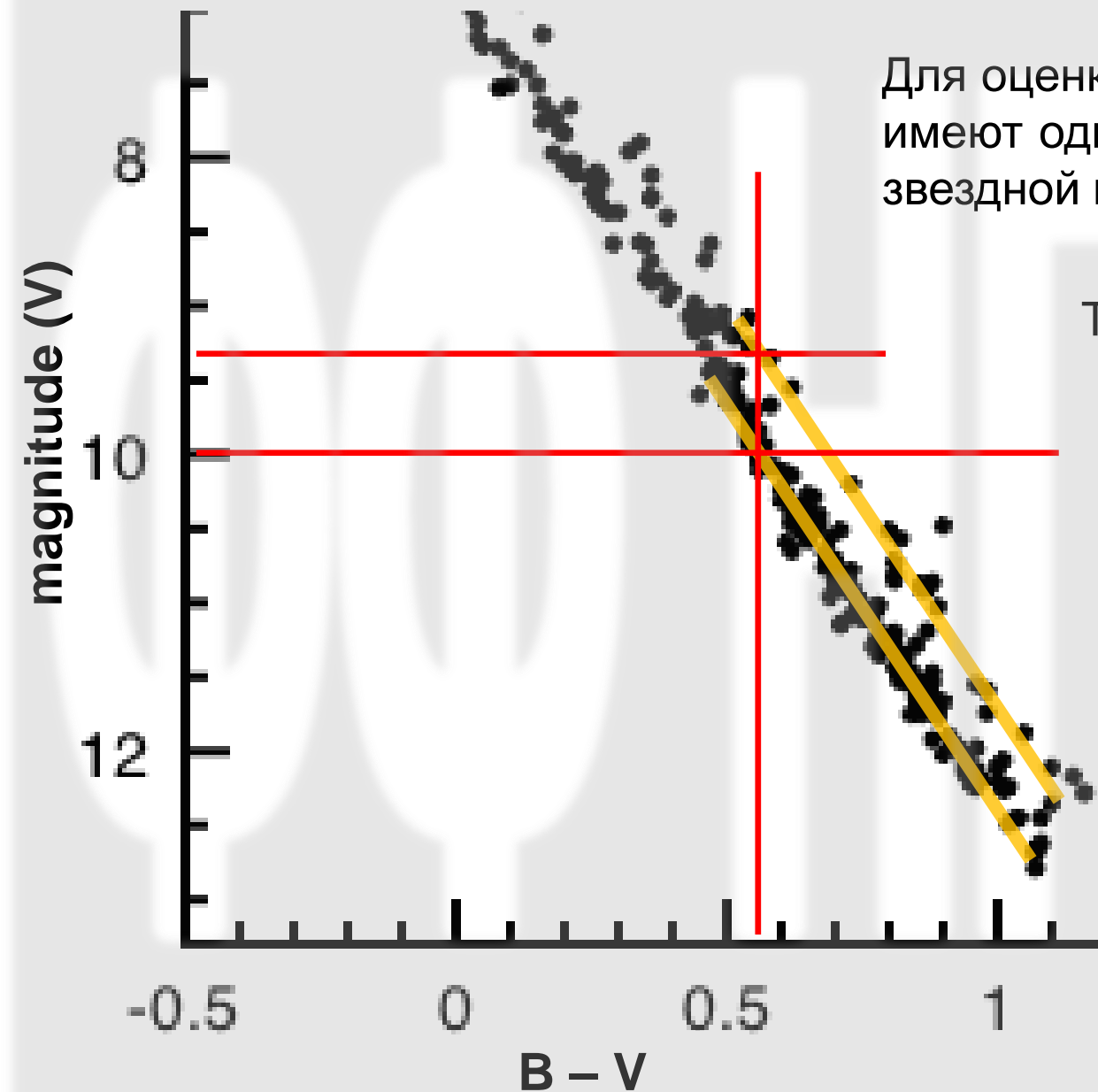


Диаграмма цвет-звездная величина для 270 звезд скопления Плеяды: “*Investigation of the Pleiades cluster. IV. The radial structure.*”, Raboud, D., Mermilliod, J.-C. *A&A.*, **329**, 101 (1998).

# Диаграмма цвет – «раздвоение» ГП



Для оценки предположим, что обе звезды в двойной системе имеют одинаковую светимость  $L$ , что соответствует видимой звездной величине  $m$ .

Тогда видимая звездная  $m'$  величина системы будет

$$m' = -2.5 \lg \frac{2L}{L_0} = -2.5 \lg \frac{L}{L_0} - 2.5 \lg 2 \\ \simeq m - 0.753$$

То есть видимая звездная величина системы будет **меньше** примерно на 0.753, что хорошо согласуется с наблюдаемым смещением «побочной» полосы на диаграмме Г-Р.

# Эффект Доплера

Продольный эффект Доплера в СТО:

$$\frac{V_r}{c} = \frac{(1+z)^2 - 1}{(1+z)^2 + 1} \quad z \equiv \frac{\Delta\lambda}{\lambda}$$

В нерелятивистском случае  $V_r \ll c$  и  $z \ll 1$ , тогда

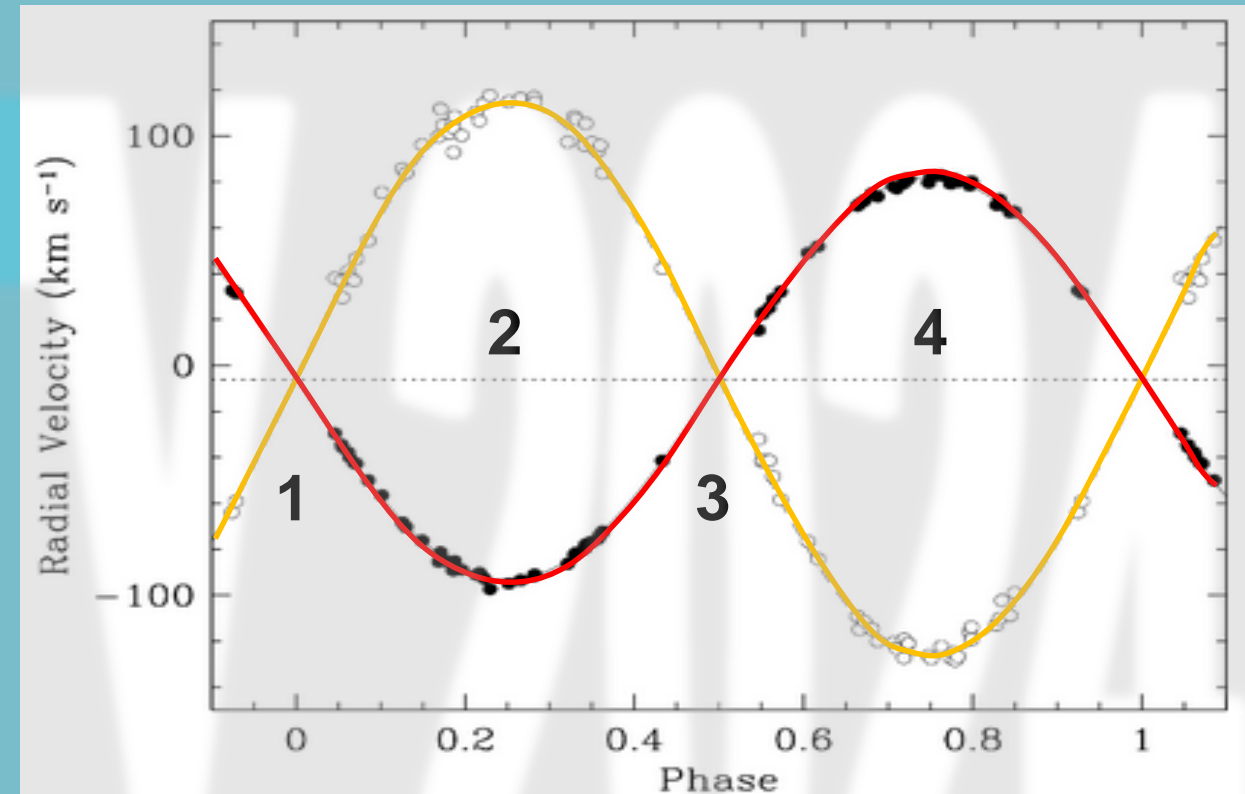
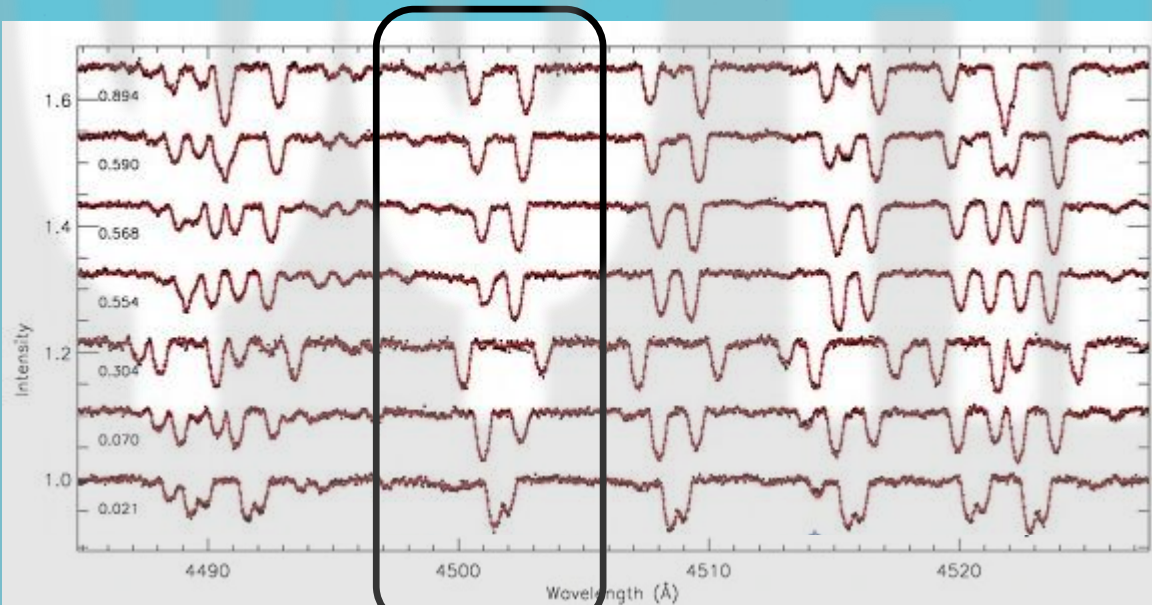
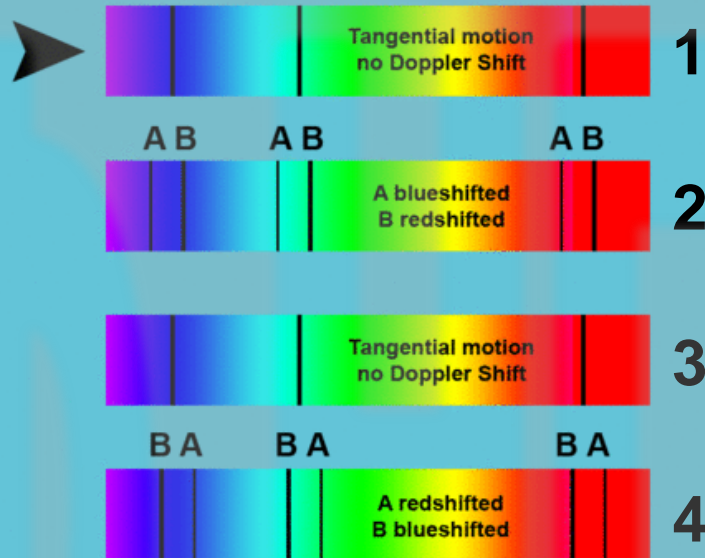
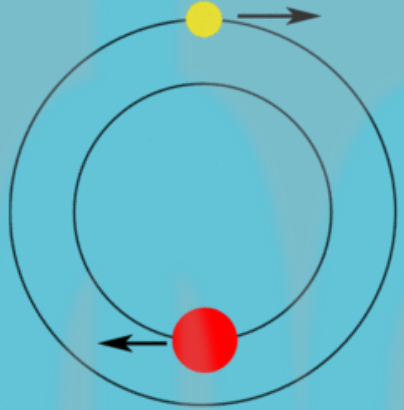
$$V_r \simeq cz = c \frac{\Delta\lambda}{\lambda}$$

При  $V_r \simeq 100$  км/с при наблюдении в линии водорода  $H_\alpha$ , с длиной волны  $\lambda_{H_\alpha} \simeq 650$  нм, смещение спектральной линии составляет всего

$$\Delta\lambda \simeq \frac{V_r}{c} \lambda \simeq \frac{100}{300000} 650 \simeq 0.22 \text{ нм}$$

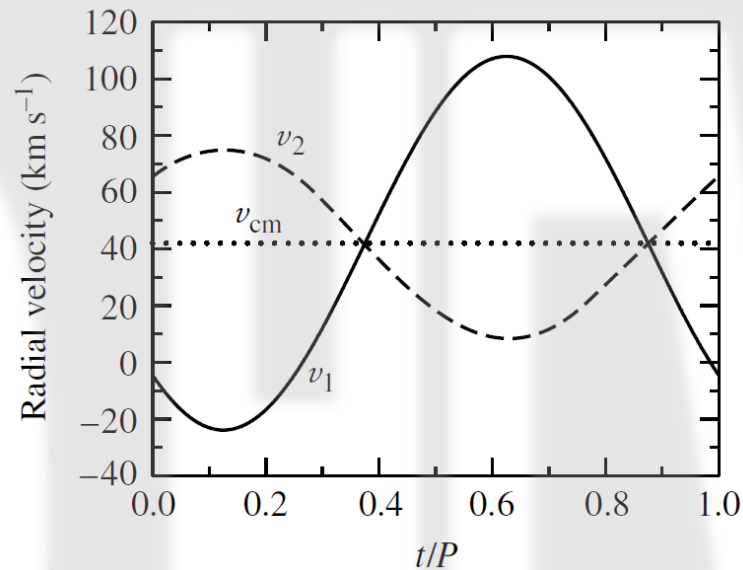
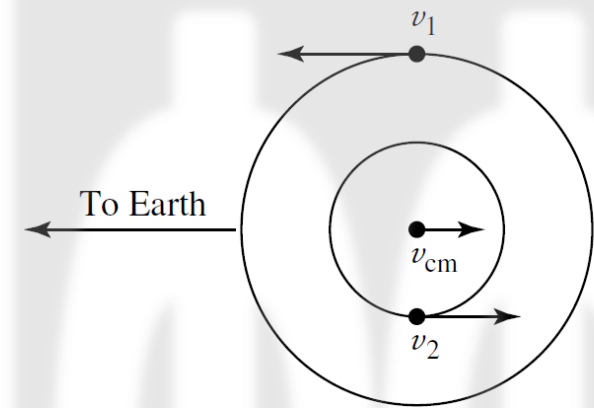


# Спектрально двойные

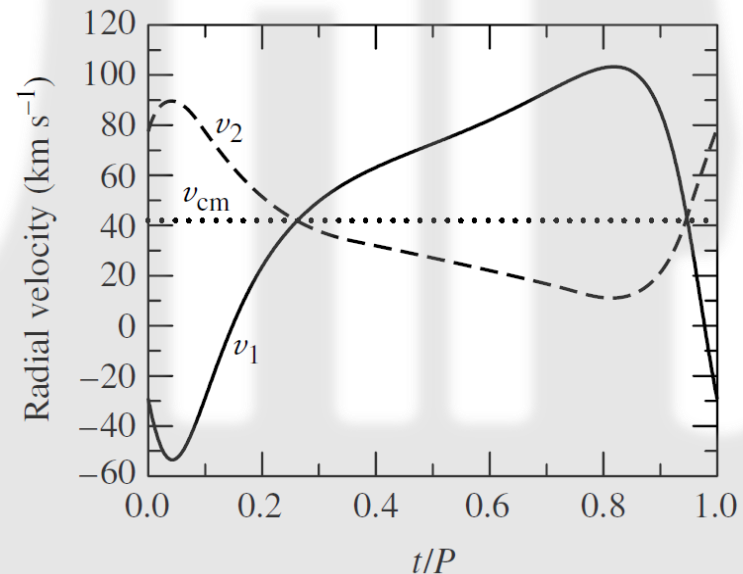
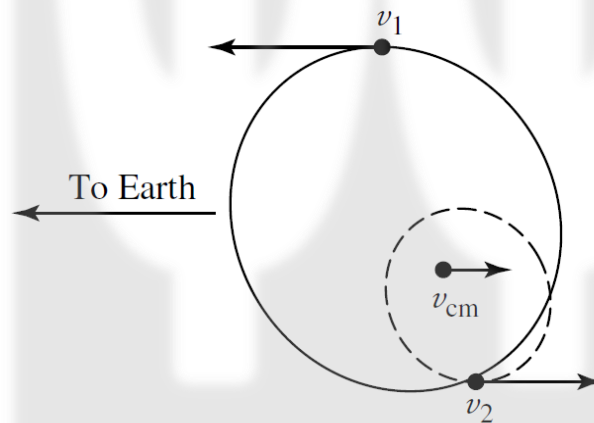


Если спектры обеих звезд видны (звезды не сильно различаются по яркости), то возможно одновременно измерить скорости обеих звезд системы.

# Спектрально двойные



В случае круговых орбит зависимость радиальной скорости от времени меняется гармонически.



В случае эллиптических орбит, кривая скорости более сложная и зависит не только от степени вытянутости, но и от ориентации осей эллипса относительно наблюдателя.

Из спектральных наблюдений невозможно определить параметры  $i$  и  $\Omega$  ориентации плоскости орбиты в пространстве!

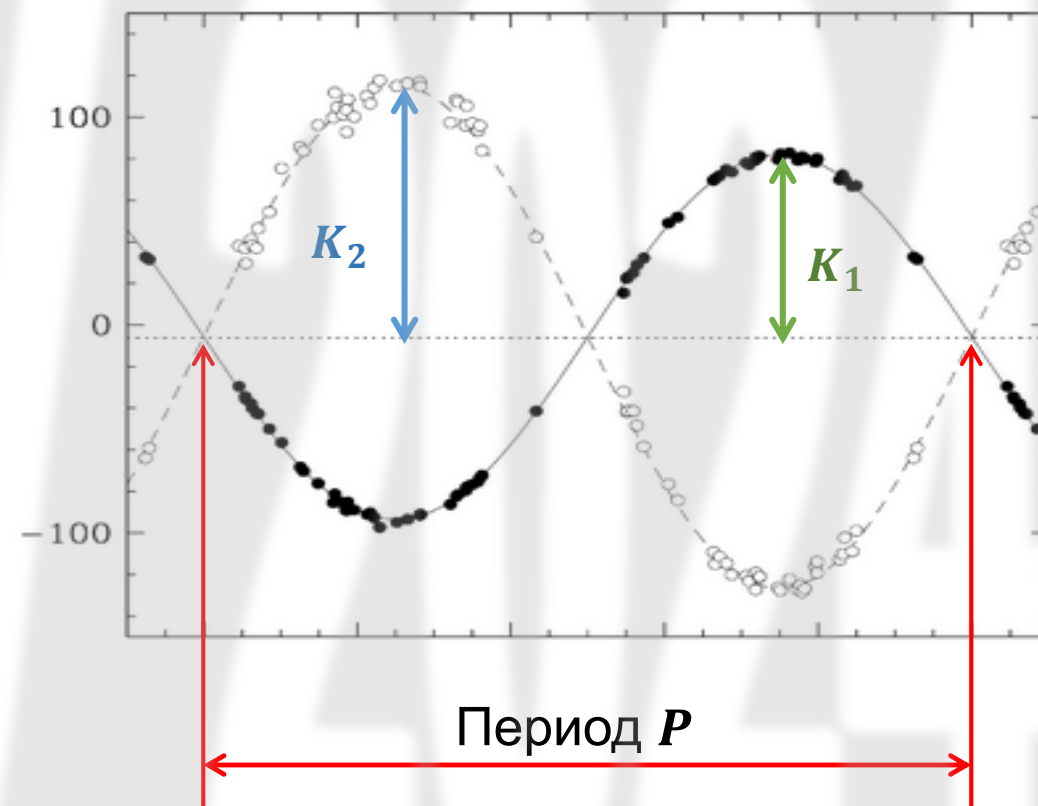
# Массы звезд двойной системы

Если система не разрешается, но удастся измерить радиальные скорости обеих звезд, то в предположении круговых орбит ( $e = 0$ ), получаем:

$$(*)' \quad \frac{m_1}{m_2} = \frac{v_2}{v_1} = \frac{v_2 / \sin i}{v_1 / \sin i} = \frac{K_2}{K_1}$$

$$a = \frac{P}{2\pi} (v_1 + v_2) = \frac{P}{2\pi} \frac{(K_1 + K_2)}{\sin i}$$

$$(**)' \quad m_1 + m_2 = \frac{4\pi^2}{G} \frac{a^3}{P^2} = \frac{P}{2\pi G} \frac{(K_1 + K_2)^3}{\sin^3 i}$$



Основной проблемой при этом, как правило, является неизвестное наклонение орбиты (угол  $i$ ).

# Массы звезд двойной системы

arXiv:astro-ph/0611584

Вводя обозначение

$$q = \frac{m_2}{m_1} = \frac{K_1}{K_2},$$

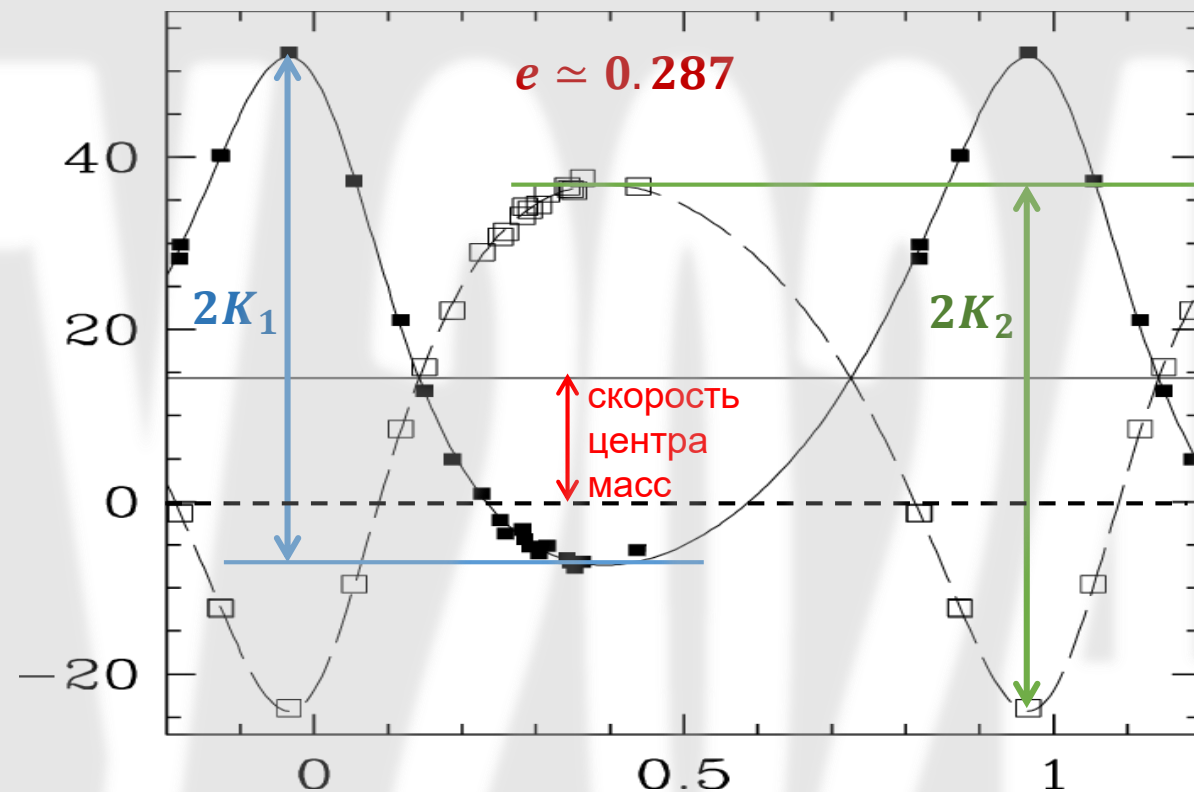
преобразуем (\*\*') к виду

$$m_1 + m_2 = m_1(1 + q) = \frac{PK_2^3 (1 + q)^3}{2\pi G \sin^3 i}.$$

Тогда (в общем случае эллиптических орбит):

$$m_1 = \frac{PK_2^3 (1 - e^2)^{3/2} (1 + q)^2}{2\pi G \sin^3 i}$$

$$m_2 = \frac{PK_1^3 (1 - e^2)^{3/2} (1 + 1/q)^2}{2\pi G \sin^3 i}$$



Если, кроме того, спектрально двойная система является еще и затменной, то  $i \simeq 90^\circ$  и  $\sin i \simeq 1$ .

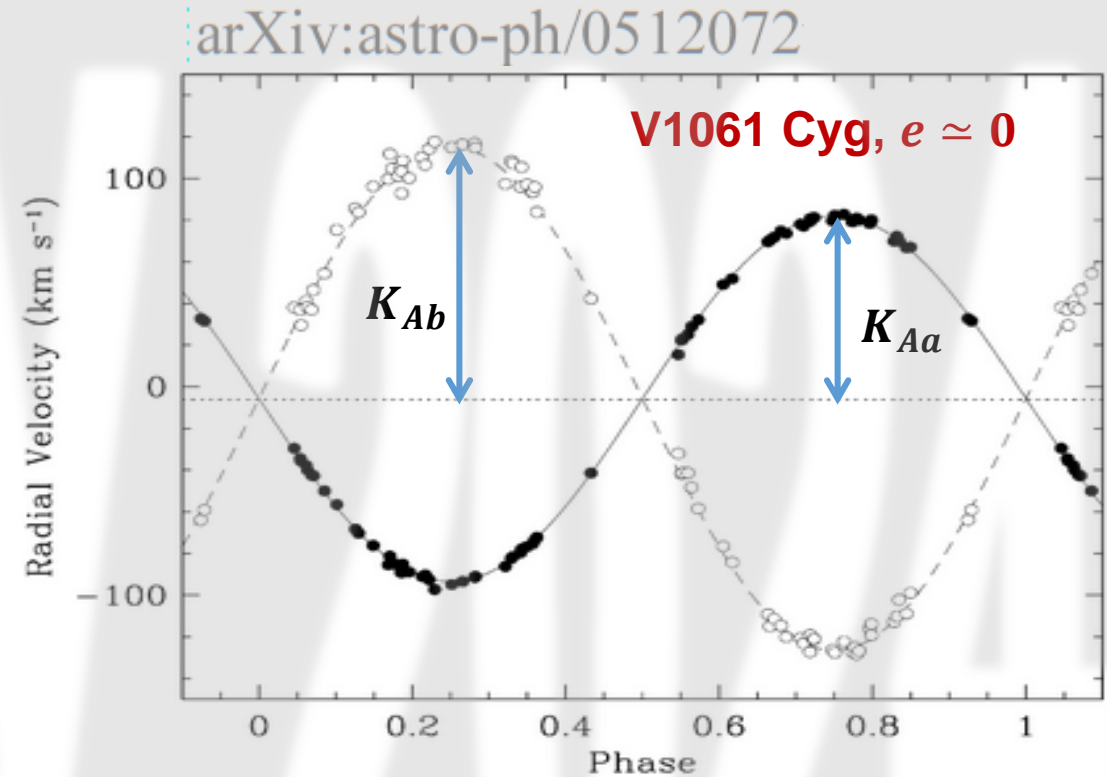


# Наблюдательный пример

Двойная система с круговыми орбитами.

$P_A$ (days) .....	$2.3466487 \pm 0.0000049$
$\gamma$ (km s <sup>-1</sup> ) .....	$-7.84 \pm 0.25$
$K_{Aa}$ (km s <sup>-1</sup> ) .....	$87.96 \pm 0.34$
$K_{Ab}$ (km s <sup>-1</sup> ) .....	$120.54 \pm 0.73$

$M_{Aa}$ (M <sub>☉</sub> ) .....	$(1.274 \pm 0.018)/\sin^3 i_A$
$M_{Ab}$ (M <sub>☉</sub> ) .....	$(0.9297 \pm 0.0096)/\sin^3 i_A$
$M_B$ (M <sub>☉</sub> ) .....	...
$q \equiv M_{Ab}/M_{Aa}$ .....	$0.7297 \pm 0.0053$



# Вычислительный пример

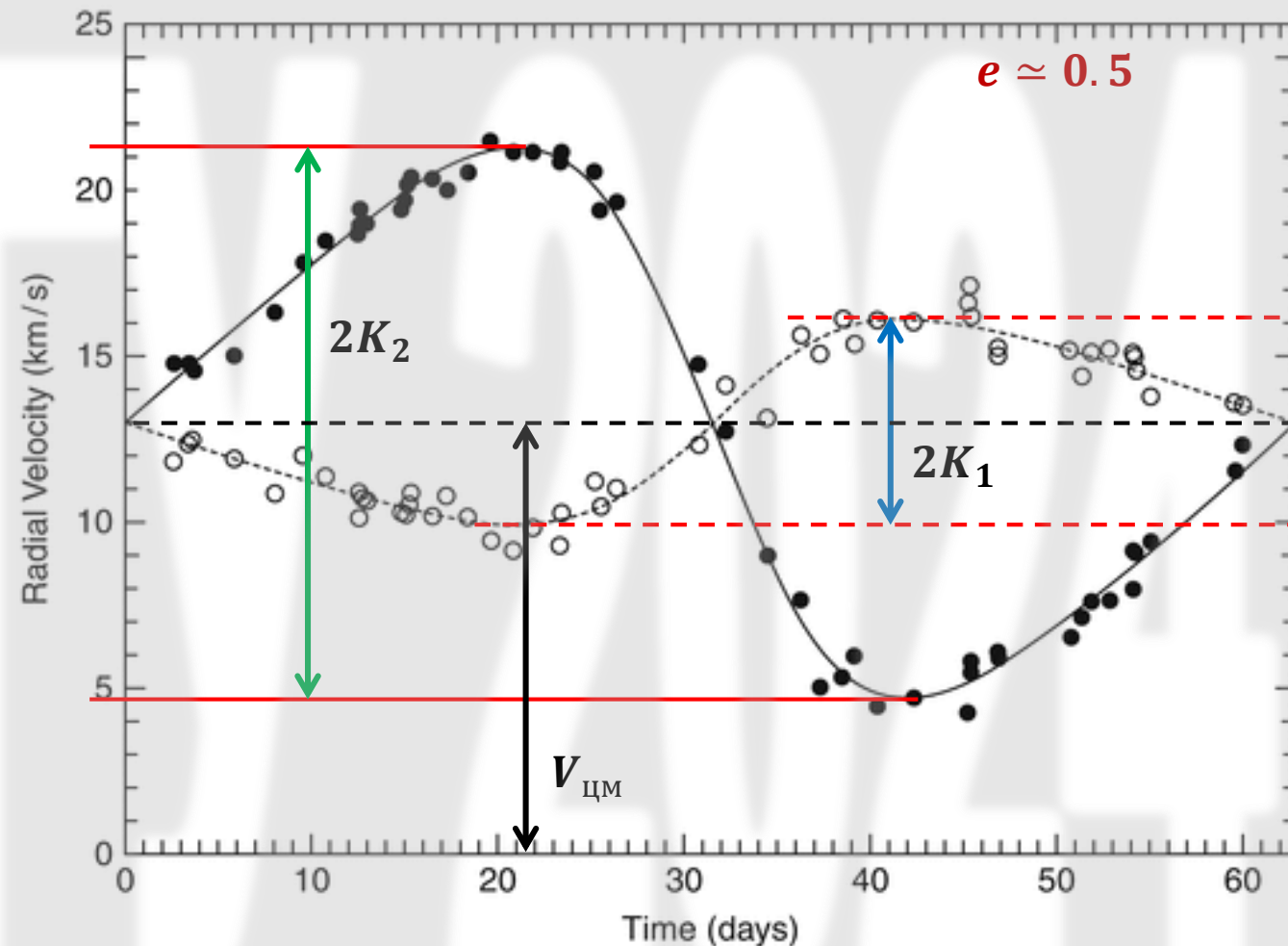
По приведенным результатам измерений радиальных скоростей двойной системы определить отношение масс и звезд и скорость центра масс системы относительно Солнца.

$$2K_1 \simeq 6.2 \text{ км/с}$$

$$2K_2 \simeq 16.6 \text{ км/с}$$

$$q = \frac{m_2}{m_1} = \frac{K_1}{K_2} \simeq \frac{6.2}{16.6} \simeq 0.37$$

$$V_{\text{цм}} \simeq 13 \text{ км/с}$$



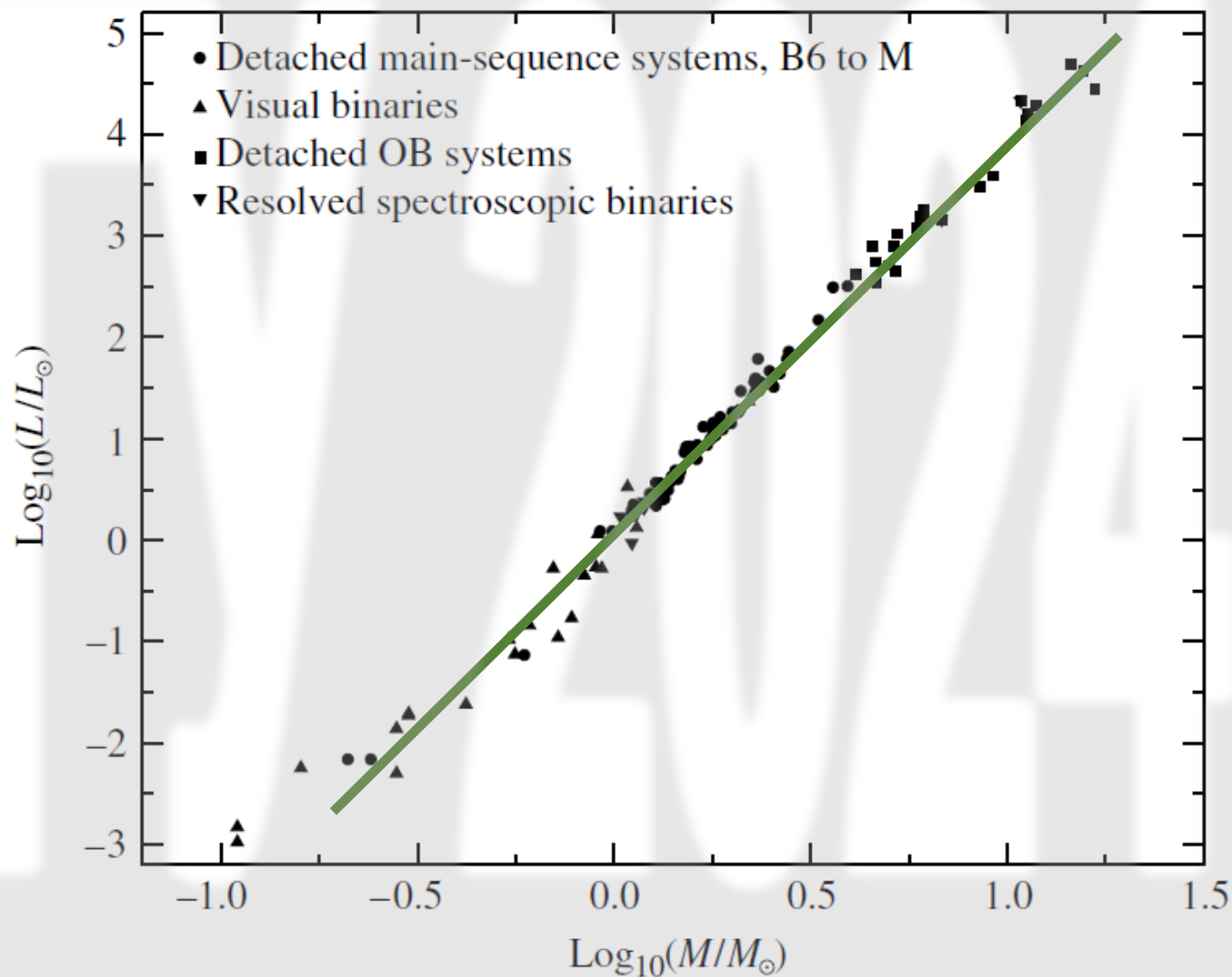
# Функция масс

Из анализа двойных систем с известным расстоянием была построена первая зависимость светимости от массы для звезд главной последовательности.

$$L = L_{\odot} \left( \frac{M}{M_{\odot}} \right)^{\alpha}$$

Для приведенного на графике диапазона значений масс  $\alpha \simeq 3.8$ . Для более широкого диапазона, как мы видели, для оценок лучше подходит  $\alpha \simeq 3.5$ .

Popper, *Annu. Rev. Astron. Astrophys.*, 18, 115, 1980.



# Функция масс

Однако далеко не всегда удастся измерить скорости обеих звезд (например если их светимости сильно различаются). Тогда

$$m_2 = \frac{PK_1^3}{2\pi G} \frac{(1 + 1/q)^2}{\sin^3 i} = f(m) \frac{(1 + 1/q)^2}{\sin^3 i}$$

– величина больше 1

Но величина  $q$  теперь не известна.

$$f(m) = \frac{PK_1^3}{2\pi G} (1 - e^2)^{3/2}$$

– функция масс, включает только измеренные параметры.

Так как  $\frac{(1+q)^2}{\sin^3 i} > 1$ , то отсюда получаем ограничение на массу  $m_2$ :

$$m_2 > f(m)$$

$$f(m) \simeq \left(\frac{P}{10}\right) \left(\frac{K_1}{100}\right)^3 (1 - e^2)^{3/2}$$

–  $P$  в сутках

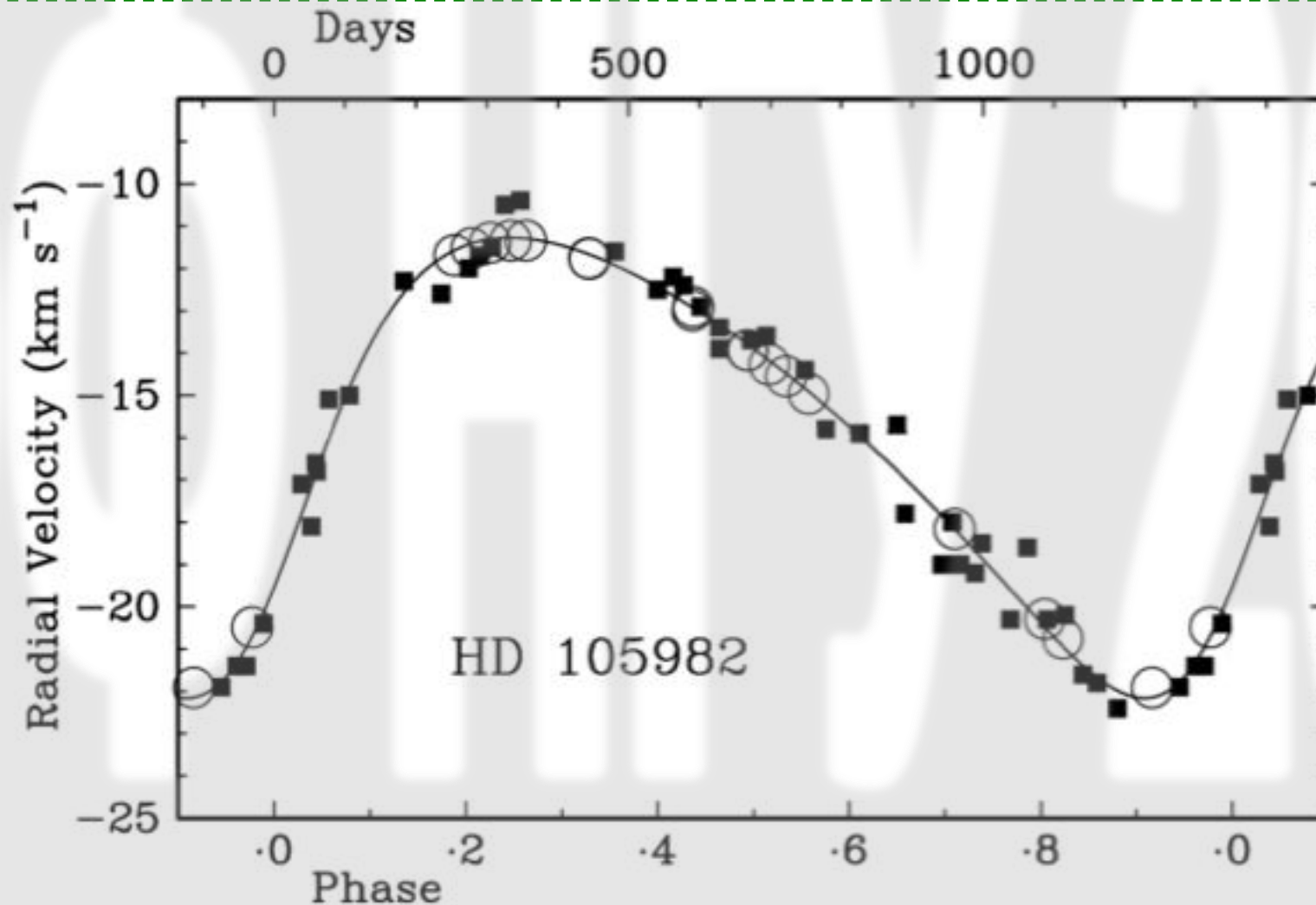
–  $K$  в км/с

–  $f(m)$  в массах Солнца



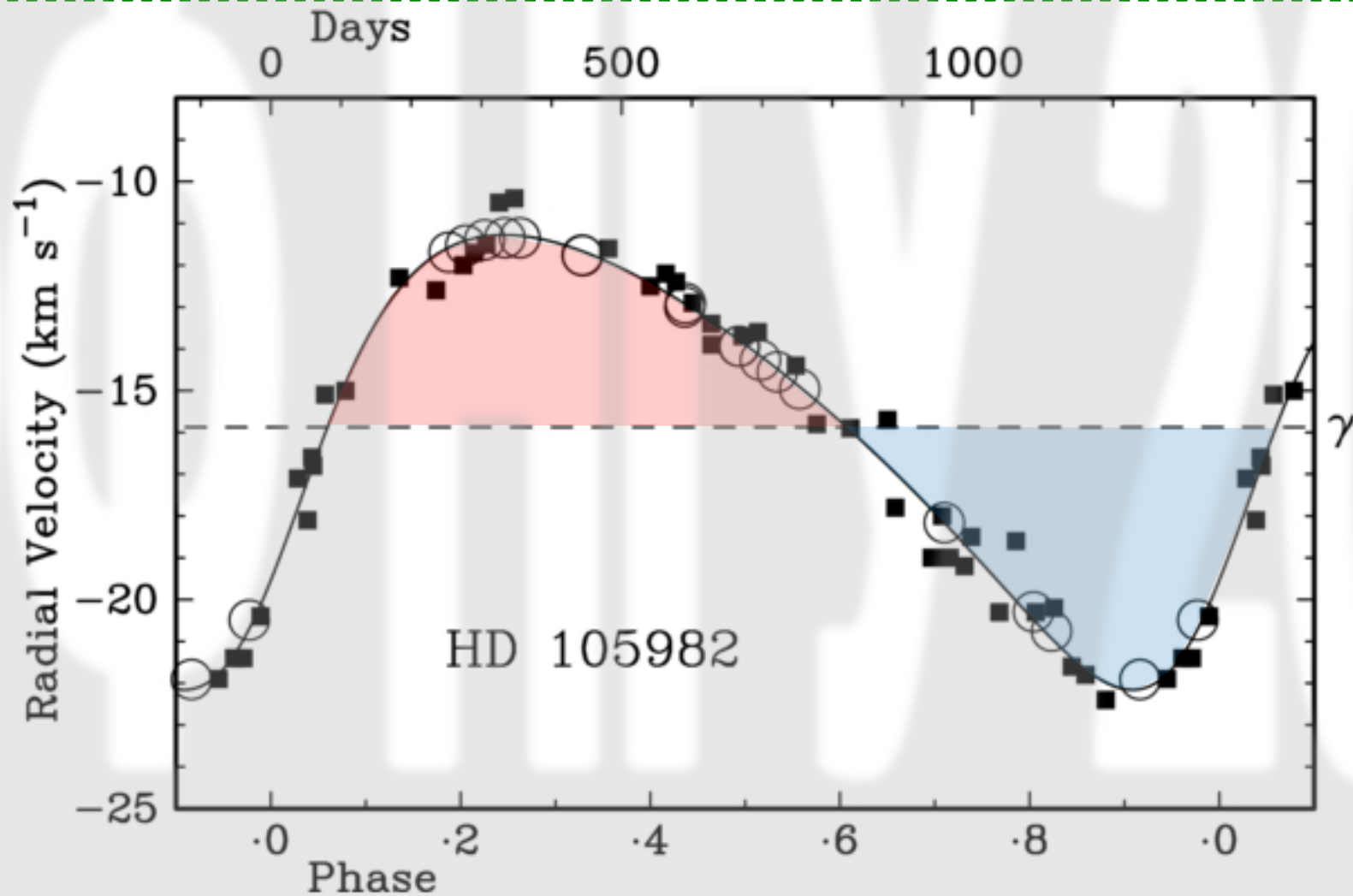
# Вычислительный пример

В двойной системе наблюдается спектр только одной звезды. Определить скорость центра масс системы.



# Вычислительный пример

В двойной системе наблюдается спектр только одной звезды. Определить скорость центра масс системы.



# Вычислительный пример

В двойной системе наблюдается спектр только одной звезды спектрального класса A5, принадлежащей ГП. При этом измеренные значения параметров орбиты равны:  $e \simeq 0$ ,  $P = 12.0$  сут.,  $K_1 \simeq 140$  км/с. Что можно сказать о второй звезде системы?

---

По спектральному классу звезды определяем температуру:  $T_{\text{эфф}} \simeq 8500$  К.

Поскольку звезда принадлежит ГП, то по соотношению масса-температура можно оценить ее массу:

$$m_1 \simeq M_{\odot} \left( \frac{T}{T_{\odot}} \right)^{5/3} \simeq 1.9 M_{\odot}$$

Пользуясь функцией масс, найдем нижний предел на массу компаньона:

$$m_2 > f(m) \simeq \left( \frac{P}{10} \right) \left( \frac{K_1}{100} \right)^3 \simeq \left( \frac{12}{10} \right) \left( \frac{140}{100} \right)^3 \simeq 3.3 M_{\odot}$$

Если  $m_1 \simeq 2 M_{\odot}$ , а  $m_2 > 3.3 M_{\odot}$ , то почему звезду 1 мы видим, а звезду 2 нет?